

Рис. 11. Топограмма фрагмента интегральной микросхемы из монокристалла Si.

т. е. кристаллов с относительно низкой плотностью дефектов. Допустимая плотность дефектов зависит от применяемой схемы съемки (рис. 1—6) и лимитируется разрешением; напр., для съемки по методу Ланга (рис. 5) плотность дислокаций не должна превышать 10^4 см^{-1} . На рис. 7—11 приведены примеры рентг. топограмм с изображением нек-рых дефектов кристаллической структуры. Преимущества Р. т. перед обычной оптической микроскопией — возможность изучать дефекты структуры непрозрачных для видимого света кристаллов, высокая чувствительность, позволяющая регистрировать изменения δd (до 10^{-6}) и $\delta\theta$ (до $0,1^\circ$). Р. т. существенно уступает просвечивающей электронной микроскопии в разрешении, но является неразрушающим методом исследования и контроля и применима для изучения структуры относительно толстых кристаллов — толщиной от $\sim 1 \text{ мм}$ в методе Ланга до неск. см в методе Бормана, основанном на аномальном пропускании эффекте. Оси, область применения Р. т. — исследование и контроль качества высокосовершенных монокристаллов полупроводников и изделий из них. Недостатки Р. т. — относительно низкое разрешение, большая продолжительность съемки (от неск. до десятков часов). Для сокращения съемки применяются мощные источники рентг. излучения — аппараты с врачающимся анодом и синхротроны, для регистрации — системы визуализации рентг. изображения, в частности рентгенооптические преобразователи-усилители яркости и рентгенотелевизионные системы, позволяющие проводить наблюдения в режиме реального времени.

Lit.: Вегг В., History of load of deformed crystals, «Z. Kristallogr.», 1934, v. 89, № 3/4, p. 286; Barrett C. S., New microscopy and its potentiality, «Trans. Amer. Inst. Min. and Metal. Eng.», 1945, v. 161, p. 15; Shultz L. G., Method of using a fine focus X-ray tube — for examining the surface of single crystals, там же, 1954, v. 200, p. 1082; Bormann G., Hildebrandt G., Röntgen-Wellenfelder in grossen Kalkspat-Kristallen und die Wirkung einer Deformation, «Z. Naturf.», 1956, Bd 112, H. 7, S. 585; Bonse U., Zur röntgenographischen Bestimmung des Typus einzelner Versetzungen in Einkristallen, «Z. Phys.», 1958, Bd 153, H. 3, S. 278; Lang A. R., The projection topograph: a new method in X-ray diffraction micrography, «Acta Crystallogr.», 1959, v. 12, p. 249; Fujiwara T., New method to taking X-ray radiographs the divergent X-ray method, «Mem. Defense Academy», 1963, v. 2, № 5, p. 127; Иденбом В. Л., Чуховский Ф. Н., Проблема изображения в рентгеновской оптике, «УФН», 1972, т. 107, в. 2, с. 229; Капулин Д., Физика дифракции, пер. с англ., М., 1979; Computer controlled X-ray topographic imaging system, «The Rigaku Journal», 1984, v. 1, № 1, p. 23; Дифракционные и микроскопические методы в материаловедении, пер. с англ., М., 1984; Игал Б. Н., Гаврилова Л. А., Опыт применения рентгенотелевизионной топографической установки для наблюдения изображений дефектов кристаллов в условиях аномального прохождения рентгеновских лучей, «Зав. лаборатория», 1987, т. 53, № 9, с. 60. В. И. Кушнер, Э. В. Суворов.

РЕНТГЕНОВСКАЯ ТРУБКА — источник рентгеновского излучения, возникающего при бомбардировке

вещества анода (антикатода) электронами, эмитируемыми катодом электровакуумной трубы. В Р. т. электроны ускоряются электрическим полем, часть их энергии переходит в энергию рентг. излучения. Излучение Р. т. является термозарядом излучением в рентг. диапазоне длин волн, при достаточных энергиях электронов на него накладывается характеристич. излучение вещества анода. Р. т. применяют в рентг. структурном анализе, рентгеноспектральном анализе, дефектоскопии, рентгенотерапии и рентгенодиагностике и т. д. В зависимости от области использования Р. т. различаются по типу конструкции, способу получения пучка электронов и его фокусировки, вакуумированию, охлаждению анода, размерам и форме фокуса (области излучения на поверхности анода) и др. Наиболее широко применяются т. н. отпаянные Р. т. с термоэмиссионным катодом, водяным охлаждением анода, электростатич. фокусировкой электронов (рис.). Термоэмиссионный катод Р. т. обычно

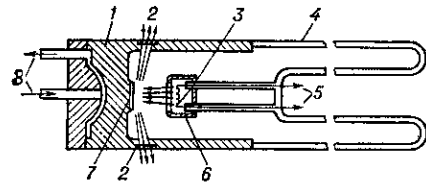


Схема рентгеновской трубы для структурного анализа: 1 — металлический анодный стакан (обычно заземляется); 2 — окна из бериллия для выхода рентгеновского излучения; 3 — термоэмиссионный катод; 4 — стеклянная колба; 5 — выводы катода, к которым подводится напряжение накала, а также высокое (относительно анода) напряжение; 6 — электростатическая система фокусировки электронов; 7 — анод; 8 — патрубки для охлаждающей системы.

представляет собой спираль или прямую вольфрамовую нить, накаливаемую электрическим током. Рабочий участок анода — металлическая зеркальная поверхность — расположена перпендикулярно или под нек-рым углом к электронному пучку. Для получения сплошного термозарядного спектра рентг. излучения высоких энергий и интенсивностей служат аноды из Au или W; в структурном анализе используются Р. т. с анодами из Ti, Cr, Fe, Co, Ni, Cu, Mo, Ag. Осн. характеристики Р. т. — предельно допустимое ускоряющее напряжение (1—500 кВ), электронный ток (0,01 мА — 1 А), уд. мощность, рассеиваемая анодом (10^4 — 10^5 Вт/мм²), общая потребляемая мощность (0,002 Вт — 60 кВт). КПД Р. т. составляет 0,1—3%.

РЕНТГЕНОВСКИЕ ПУЛЬСАРЫ — источники переменного периодич. рентг. излучения, представляющие собой вращающиеся нейтронные звезды с сильным магнитным полем, излучающие за счет акреции. Магн. поля на поверхности Р. п. $\sim 10^{11}$ — 10^{14} Гс. Светимости большинства Р. п. от 10^{35} до 10^{39} эрг/с. Периоды следования импульсов P от 0,07 с до неск. тыс. секунд. Р. п. входят в тесные двойные звездные системы (см. Тесные двойные звезды), вторым компонентом к-рых является нормальная (невырожденная) звезда, поставляющая вещество, необходимое для акреции и нормального функционирования Р. п. Если второй компонент находится на стадии звезды, когда скорость потери массы мала, нейтронная звезда не проявляет себя как Р. п. Рентг. пульсары встречаются как в массивных молодых двойных звездных системах, относящихся к населению I Галактики и лежащих в ее плоскости, так и в мало-массивных двойных системах, относящихся к населению II Галактики и принадлежащих к ее сферич. составляющей. Р. п. открыты также в Магеллановых Области. Всего открыто ок. 30 Р. п.

На нач. этапе исследований рентг. объектам присваивались наименования по созвездиям, в к-рых они находятся. Напр., Геркулес X-1 означает первый по рентг. яркости объект в созвездии Геркулеса, Кентавр